

ВЛИЯНИЕ ДАВЛЕНИЯ  
НА ЭЛЕКТРОФИЗИЧЕСКИЕ СВОЙСТВА  $Pb_{1-x}Sn_xSe$  ( $x=0.25$ ),  
ОБЛУЧЕННОГО ЭЛЕКТРОНАМИ, В ДИЭЛЕКТРИЧЕСКОЙ ФАЗЕ

Дубков В. П., Скипетров Е. П.

Исследовано влияние давления ( $P \leq 16$  кбар) на гальваномагнитные явления ( $4.2 \leq T \leq 300$  К,  $B \leq 7$  Т) в сплаве  $Pb_{1-x}Sn_xSe$  ( $x=0.25$ ), облученном электронами ( $T \approx 300$  К,  $E=6$  МэВ,  $\Phi \leq 2 \cdot 10^{17}$  см $^{-2}$ ). Показано, что в диэлектрической фазе основной вклад в кинетические явления вносит проводимость по зоне локализованных состояний, индуцированной электронным облучением в запрещенной зоне сплава. Установлено, что положение локальной зоны относительно потолка валентной зоны  $L_6^-$  практически не зависит от давления. В рамках двухзонного приближения рассчитаны барические зависимости параметров носителей заряда в сплаве  $Pb_{1-x}Sn_xSe$  ( $x=0.25$ ), облученном электронами.

**Введение.** Облучение быстрыми электронами сплава  $Pb_{1-x}Sn_xSe$  ( $x=0.25$ )  $n$ -типа приводит к возникновению в запрещенной зоне сплава локального уровня (локальной зоны), связанного, возможно, с вакансиями селена [1], уменьшению концентрации электронов в результате перетекания электронов из зоны проводимости в локальную зону и переходу типа металл—диэлектрик, индуцированному электронным облучением [2]. В диэлектрической фазе электрофизические параметры сплава при низких температурах достигают предельных значений, практически не зависящих от потока облучения, и определяются в основном проводимостью по зоне локализованных состояний, имеющей дырочный характер [2–4]. Расчеты, проведенные в рамках двухзонного приближения [4], показали, что подвижность носителей заряда при проводимости по локальной зоне имеет аномально высокое значение  $\mu_{ph} \approx 10^2$  см $^2$ /В·с, что может быть связано с тем, что зона локализованных состояний имеет значительную ( $\sim 10$  мэВ) ширину и частично перекрывается с валентной зоной.

В настоящей работе исследованы гальваномагнитные эффекты в сплаве  $n$ - $Pb_{1-x}Sn_xSe$  ( $x=0.25$ ), облученном электронами, в интервале давлений  $P \leq 16$  кбар с целью получения дополнительной информации о поведении электрофизических параметров сплава в диэлектрической фазе и выяснения вопроса о влиянии давления на положение локальной зоны относительно краев энергетических зон в  $L$ .

## 1. Методика измерений

**Образцы.** Монокристаллические образцы  $n$ - $Pb_{1-x}Sn_xSe$  ( $x=0.25$ ) с исходными концентрациями электронов  $n=(4 \div 5) \cdot 10^{17}$  см $^{-3}$  облучались при комнатной температуре на ускорителе ЭЛУ-6 потоками быстрых электронов  $\Phi \leq 2 \cdot 10^{17}$  см $^{-2}$  с энергией  $E=6$  МэВ. Методика подготовки образцов к измерениям, а также значения электрофизических параметров образцов до и после облучения электронами приведены в [3].

В диэлектрической фазе ( $\Phi > 10^{17}$  см $^{-2}$ ) у облученных образцов измерялись температурные зависимости удельного сопротивления  $\rho$  и коэффициента Холла  $R_H$  ( $4.2 \leq T \leq 300$  К,  $B \leq 0.04$  Т), а также полевые зависимости коэффициента Холла при  $T=4.2$  К ( $B \leq 7$  Т) в интервале давлений  $P \leq 16$  кбар. Гидростатические давления  $P \leq 16$  кбар были получены с помощью камеры из термо-

обработанной бериллиевой бронзы и измерялись при гелиевых температурах индукционным методом по смещению сверхпроводящего перехода оловянного датчика.

## 2. Температурные зависимости удельного сопротивления и коэффициента Холла

Установлено, что в диэлектрической фазе электрофизические параметры исследованных образцов в интервале температур  $4.2 \leq T \leq 300$  К практически не зависят от потока облучения ( $\Phi \leq 2 \cdot 10^{17} \text{ см}^{-2}$ ). В то же время с ростом давления величины удельного сопротивления и коэффициента Холла при  $T = 4.2$  К плавно изменяются примерно вдвое и стремятся, по-видимому, к некоторым предельным значениям (рис. 1).

На температурной зависимости удельного сопротивления появляются два характерных активационных участка, тангенс угла наклона которых различается примерно в 2 раза (рис. 2). Под действием давления наклон высокотемпературного участка монотонно увеличивается, а наклон низкотемпературного участка остается практически постоянным. Величина энергии активации и скорость ее изменения под действием давления, определенные по углу наклона

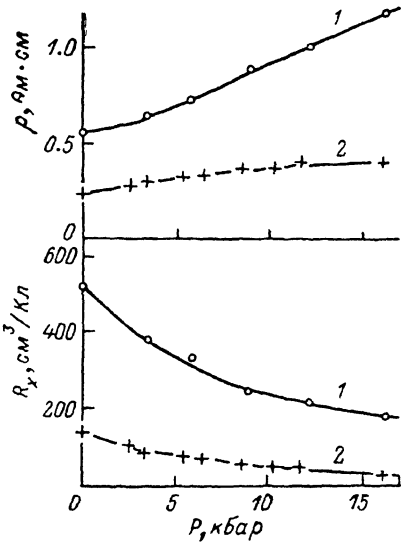


Рис. 1. Барические зависимости удельного сопротивления и коэффициента Холла при  $T = 4.2$  К образцов  $\text{Pb}_{1-x}\text{Sn}_x\text{Se}$  ( $x = 0.25$ ), облученных электронами.

Образцы: 1 — W-6 ( $\Phi = 2 \cdot 10^{17} \text{ см}^{-2}$ ), 2 — W-3 ( $\Phi = 1.3 \times 10^{17} \text{ см}^{-2}$ ).

высокотемпературного активационного участка, позволяют считать, что этот участок соответствует собственной ионизации носителей заряда, а увеличение угла его наклона связано с увеличением ширины запрещенной зоны сплава под давлением [5]. Так как в исследованных диапазонах температур и давлений коэффициент Холла имеет положительный знак (рис. 3), можно заключить, что наклон низкотемпературного активационного участка на зависимостях  $\rho$  ( $1/T$ ) определяется расстоянием между локальным уровнем  $E_i$  и потолком валентной зоны  $E_v$ . Величина энергии активации локального уровня, рассчитанная по углу наклона зависимостей  $\rho$  ( $1/T$ ), в исследованных образцах составляет  $\Delta E_i = E_i - E_v = (24 \pm 3)$  мэВ и практически не зависит от давления (рис. 2).

На температурной зависимости коэффициента Холла в диэлектрической фазе появляется резкий максимум при  $T = 50 - 70$  К (рис. 3). Резкое увеличение величины  $R_x$  свидетельствует об увеличении подвижности носителей заряда и связано, очевидно, с появлением легких дырок в  $L$ -экстремумах валентной зоны в результате термической активации электронов из валентной зоны в зону локализованных состояний. Под действием давления амплитуда максимума уменьшается в несколько раз, а положение максимума на зависимостях  $R_x$  ( $T$ ) почти не меняется.

Полученные экспериментальные результаты позволяют сделать следующие выводы.

1) Поведение электрофизических параметров облученных образцов при  $T = 4.2$  К, а также уменьшение амплитуды максимума на зависимостях  $R_x$  ( $T$ ) объясняются, по-видимому, уменьшением вклада легких дырок в кинетические явления в результате уменьшения подвижности дырок в  $L$  при увеличении ширины запрещенной зоны сплава под действием давления [5].

2) Постоянство энергии активации  $\Delta E_i$ , а также неизменность положения максимума на зависимостях  $R_x$  ( $T$ ) в исследованном диапазоне давлений позво-

ляют считать, что под действием давления положение зоны локализованных состояний относительно терма  $L_6^-$  (потолок валентной зоны) практически не из-

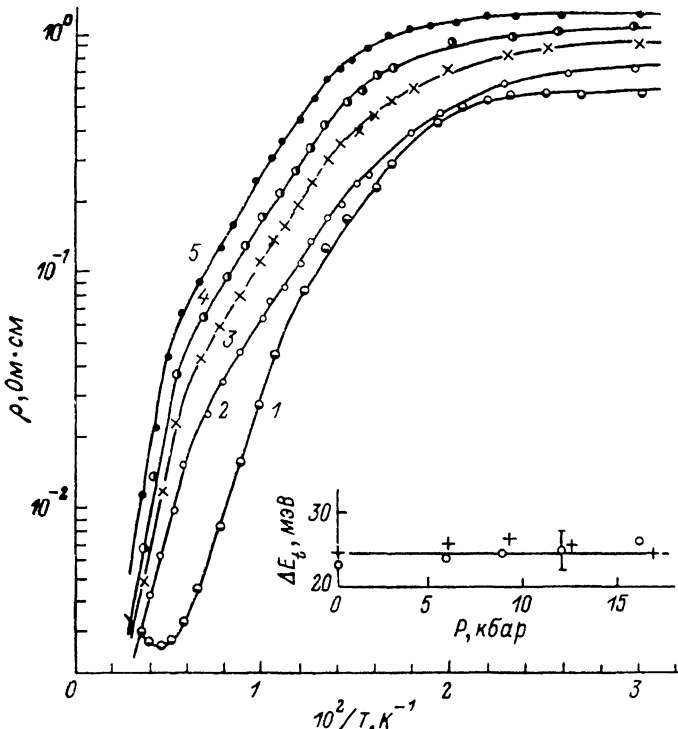


Рис. 2. Температурные зависимости удельного сопротивления образца W-6 ( $\Phi=2 \cdot 10^{17} \text{ см}^{-2}$ ) и барические зависимости энергии активации локального уровня в образцах  $\text{Pb}_{1-x}\text{Sn}_x\text{Se}$  ( $x=0.25$ ), облученных электронами.

$P$ , кбар: 1 — 0, 2 — 5.8, 3 — 8.8, 4 — 12.1, 5 — 16.2.

меняется. Интересно отметить, что аналогичное поведение под давлением было обнаружено у зоны резонансных состояний, индуцированной электронным облуче-

нием в энергетическом спектре сплава  $n\text{-Pb}_{1-x}\text{Sn}_x\text{Se}$  ( $x=0.125$ ): [6]. Вполне возможно, что в обоих случаях речь идет об одной и той же зоне локализованных состояний, положение которой относительно терма  $L_6^-$  зависит от состава сплава и не меняется под давлением.

### 3. Полевые зависимости коэффициента Холла

В диэлектрической фазе коэффициент Холла при  $T=4.2 \text{ K}$  остается поло-

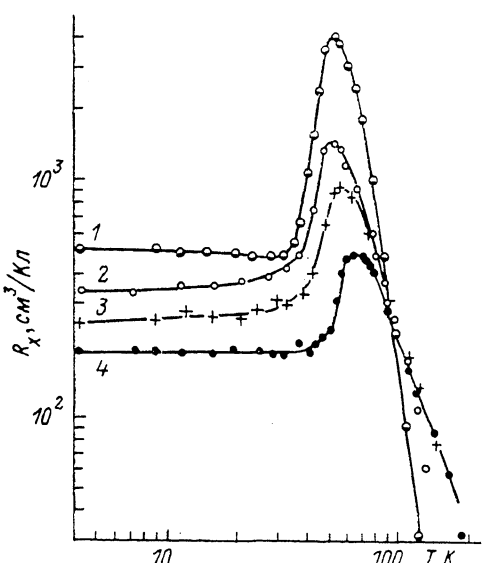


Рис. 3. Температурные зависимости коэффициента Холла образца W-6, облученного электронами ( $\Phi=2 \cdot 10^{17} \text{ см}^{-2}$ ).

$P$ , кбар: 1 — 0, 2 — 5.8, 3 — 8.8, 4 — 16.2.

жительным во всем исследованном диапазоне магнитных полей  $B \leq 7 \text{ T}$  (рис. 4). При увеличении магнитного поля происходит уменьшение величины  $R_H$ , ука-

зывающее на существование в облученных образцах двух типов дырок с сильно различающимися подвижностями — тяжелых дырок, обеспечивающих проводимость по зоне локализованных состояний, и легких дырок в  $L$  [4]. Под действием давления величина  $R_x$  в исследованном диапазоне магнитных полей плавно уменьшается, а зависимость  $R_x(B)$  становится более слабой. Такое поведение коэффициента Холла в облученных образцах указывает на уменьшение вклада легких дырок в величину  $R_x$  и может быть связано как с уменьшением их подвижности при увеличении ширины запрещенной зоны под действием давления, так и с изменением ширины локальной зоны и степени ее перекрытия с валентной зоной.

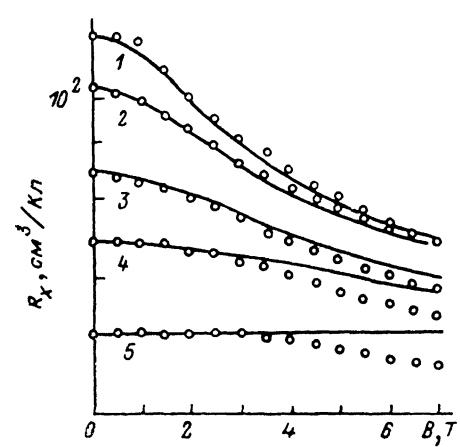


Рис. 4. Полевые зависимости коэффициента Холла при  $T=4.2$  К образца W-3, облученного электронами ( $\Phi=1.3 \cdot 10^{17}$  см $^{-2}$ ).

Сплошные линии — расчет в рамках двухзонного приближения.  $P$ , кбар: 1 — 0, 2 — 2.4, 3 — 6.4, 4 — 10.2, 5 — 16.0.

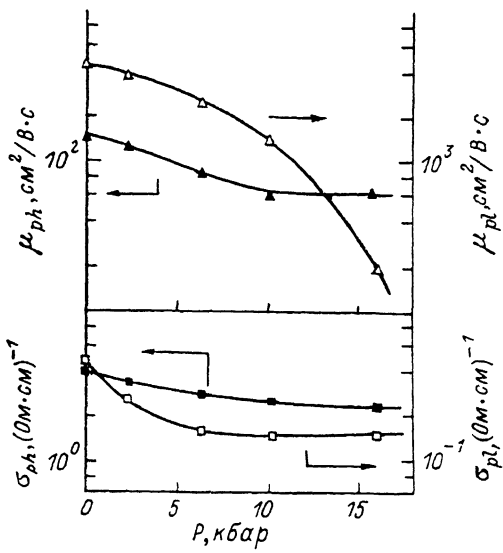


Рис. 5. Барические зависимости электрофизических параметров носителей заряда в образце W-3, облученном электронами ( $\Phi=1.3 \cdot 10^{17}$  см $^{-2}$ ).

Для проверки этих предположений и определения параметров носителей заряда при проводимости по зоне локализованных состояний проведено сравнение экспериментальных и теоретических полевых зависимостей коэффициента Холла облученных образцов (рис. 4). Теоретические зависимости  $R_x(B)$  (рис. 4, сплошные линии) рассчитывались в рамках двухзонного приближения [7]:

$$1/\rho = \Sigma \sigma_k, \quad (1)$$

$$R_x(B) = \frac{\Sigma \sigma_k \mu_k / (1 + \mu_k^2 B^2)}{[\Sigma \sigma_k / (1 + \mu_k^2 B^2)]^2 + [\Sigma \sigma_k \mu_k B / (1 + \mu_k^2 B^2)]^2}, \quad (2)$$

где  $\sigma_k$ ,  $\mu_k$  — удельные электропроводности и подвижности легких и тяжелых дырок.

Для однозначности выбора параметров модели при расчетах предполагалось, что, как и в необлученных образцах  $Pb_{1-x}Sn_xSe$  ( $x=0.25$ ), подвижность носителей заряда в  $L$  уменьшается под действием давления ( $P \leq 16$  кбар) более чем на порядок [8]. Расчеты показали (рис. 5), что под давлением электропроводность легких дырок  $\sigma_{pl}$  уменьшается значительно медленнее, чем подвижность  $\mu_{pl}$ , что может быть связано с изменением степени перекрытия локальной зоны с валентной зоной в результате изменения ее ширины или размытия края валентной зоны. Электропроводность  $\sigma_{ph}$  и подвижность  $\mu_{ph}$  тяжелых дырок уменьшаются под давлением примерно вдвое. При увеличении давления подвижность носителей заряда при проводимости по зоне локализованных состояний стремится к предельному значению  $\mu_{ph} \approx 60$  см $^2$ /В·с.

Необходимо отметить, что удовлетворительного согласия теории с экспериментальными данными удается достичь только в области низких давлений

$P < 8$  кбар). С ростом давления согласие теории и эксперимента ухудшается рис. 4). Кроме того, при максимальных давлениях теоретические зависимости  $R_x(B)$  оказываются практически нечувствительными к вариации параметров тяжелых дырок. Поэтому вполне возможно, что, кроме наличия двух типов дырок в исследованных образцах, существуют дополнительные причины, которые в области высоких давлений приводят к уменьшению коэффициента Холла с ростом магнитного поля. Одной из таких причин может быть увеличение перекрытия локальной зоны с термом  $L_6^-$  и перераспределение электронов между валентной зоной и зоной локализованных состояний в результате движения краев разрешенных зон в  $L$  в квантующем магнитном поле [4].

**Заключение.** Таким образом, в исследованном диапазоне давлений ( $P \leq 16$  кбар) положение локальной зоны, индуцированной электронным облучением в запрещенной зоне сплава  $Pb_{1-x}Sn_xSe$  ( $x=0.25$ ), относительно терма  $L_6^-$  практически не зависит от давления. Под действием давления электрофизические параметры облученных электронами образцов  $Pb_{1-x}Sn_xSe$  ( $x=0.25$ ) стремятся к предельным значениям, которые определяются, по-видимому, проводимостью по зоне локализованных состояний, имеющей дырочный характер.

#### Список литературы

- [1] Волков Б. А., Панкратов О. А. // ЖЭТФ. 1985. Т. 88. В. 1. С. 280—292.
- [2] Брандт Н. Б., Дубков В. П., Иванова Г. В., Ладыгин Е. А., Скипетров Е. П. // Вестн. МГУ. Сер. 3. Физика. Астрономия. 1987. Т. 28. В. 5. С. 96—97.
- [3] Брандт Н. Б., Дубков В. П., Зломанов В. П., Иванова Г. В., Ладыгин Е. А., Скипетров Е. П. // ФТП. 1987. Т. 21. В. 12. С. 2136—2141.
- [4] Скипетров Е. П., Дубков В. П., Мусалитин А. М., Подсекалов И. Н. // ФТП. 1988. Т. 22. В. 10. С. 1785—1791.
- [5] Martinez G. // Phys. Rev. B. 1973. V. 8. N 10. P. 4678—4692.
- [6] Брандт Н. Б., Доропей В. Н., Дубков В. П., Скипетров Е. П. // ФТП. 1988. Т. 22. В. 8. С. 1462—1473.
- [7] Киреев П. С. Физика полупроводников. М., 1975. 584 с.
- [8] Титтель В. // Автореф. канд. дис. М., 1980.

Московский государственный университет  
им. М. В. Ломоносова

Получена 14.08.1989  
Принята к печати 30.08.1989